УДК 612.8.52-50

**ФИЗИОЛОГИЯ** 

Д. С. Мелконян, О. А. Мкртчян, Н. С. Хондкарян

## Математическое описание поведения синапса в условиях ритмической стимуляции

(Представлено чл.-корр. АН Армянской ССР В. В Фанарджяном 21/IX 1976)

Известные работы по исследованию механизмов синаптической передачи (1-3), в которых для широких диапазонов частот изучалось влияние ритмической пресинаптической стимуляции на величины ПСП, показали важное значение процессов мобилизации медиатора в изменении эффективности синапса. Согласно принятым в настоящее время представлениям (3-5), пресинаптический импульс не только вызывает выброе определенного количества медиатора в синаптическую щель, но и независимо от этого—мобилизацию медиатора, которая быстро (в течение нескольких миллисекунд) достигает максимума и медленно (в течение нескольких десятков или сотей миллисекунд) падает до нуля.

Задачей настоящей работы является выявление возможности объяснения закономерностей изменения эффективности синапса в условиях ритмической пресинаптической стимуляции на основе существующих гипотез о механизмах мобилизации, расхода и восполнения медиатора, путем построения математической модели этих процессов, расчета на этой основе частотных характеристик синаптической передачи и сравнения их с экспериментальными кривыми.

При записи уравнений модели дискретные моменты поступления пресинаптических импульсов обозначаются через  $(k=1,\ldots,B)$  эти моменты функции времени v и V, описывающие пресинаптическую импульсацию и, соответственно, количество медиатора, выбрасываемого в синаптическую щель, принимаются отличными от нуля. При этом величина пресинаптического импульса принимается постоянной, равной единице  $v_{\bullet} = v_{\bullet}(t_{\bullet})$  определяется на основании уравнения

$$V_k = k_0 s W x_k \tag{1}$$

где kp, в и W-параметры синаптической передачи.

Нараметры в и W, рассматринаемые как функции времени, имеют следующий смысл: W общее количество медиатора в синан-

тическом окончании,  $\varepsilon$ —доля медиатора, по отношению к его общему количеству, мобилизованного к высвобождению в синаптическую щель. Предполагается, что в отсутствие пресинаптической стимуляции параметры W и  $\varepsilon$  в течение некоторого времени устанавливаются на некотором постоянном уровне, характеризуемом значениями  $W_0$  и  $\varepsilon$ 

Параметр  $k_0$  является постоянным коэффициентом, величина которого показывает, какая часть от общего количества мобилизованного медиатора в W выбрасывается в синаптическую щель под деяствием одиночного пресинаптического импульса.

Процесс мобилизации медиатора под действием пресинаптических импульсов учитывается путем изменения параметра в на основании следующего уравнения

$$\varepsilon(t) = \varepsilon_0 + \sum_{k=1}^n \Delta \varepsilon_k e^{-\frac{t}{k}} \cdot 1(t - t_k^*), \qquad (2)$$

где  $\varepsilon_0$ —значение функции  $\varepsilon$  в момент  $t_0$ =0, принимаемый за начало отсчета времени; I(t)—единичная функция;  $\Delta \varepsilon_t$ —ступенчатое прирацение функции  $\varepsilon$ , полученное под действием k-го пресинаптического импульса в момент  $t^{\varepsilon}$ ;  $t^{\varepsilon} = t_k + \delta$ ,  $\delta$ —временная задержка между моментами поступления пресинаптического импульса и моментом изменения под его влиянием параметра  $\varepsilon$ ;  $T_t$  — постоянная времени процесса мобилизации медиатора.

Приращение ∆ы описывается следующим уравнением

$$\Delta \varepsilon_{k} = k_{k} W'(t_{k}) \cdot [1 - \varepsilon(t_{k})], \qquad (3)$$

где к. - постоянный коэффициент.

Уравнение, описывающее расход и восполнение медиатора, представляется в виде

$$W(t) = W_0 - \sum_{i=1}^{n} \frac{t - r_k}{1(t - t^2)},$$
 (4)

где  $W_0$ —начальное значение функции W;  $V_k$ — расход медиатора под действием k-го пресиналтического импульса;  $\Delta$ —временная задержка между моментом поступления пресиналтического импульса и выброса медиатора;  $t_k^{\Delta} = t_k + \Delta$ — момент выброса медиатора;  $T_0$ — постоянная времени процесса восполнения медиатора.

При расчетах согласно приведенным уравнениям параметры  $W_*$ ,  $k_v$  и  $k_*$  выражаются в относительных единицах; при этом принимается  $W_0 = 1$ . Постоянные времени  $T_*$  и  $T_v$  выражаются в миллисекундах.

Расчет ПСП осуществляется на основании известных представлений о процессах временной суммации ПСП (в) согласно уравнению

$$P(t) = \sum_{k=1}^{n} V_k z(t - t_k) \cdot 1(t - t_k), \tag{5}$$

где P(t) — функция, описывающая суммарный ПСП; z(t) — функция, 60

описывающая ПСП, вызванный отдельным пресинаптическим импуль-

Амплитудное значение функции z(t), выражаемой в относительных единицах, выбирается таким образом, чтобы амплитуда функции P(t), описывающей контрольное ПСП при  $W = W_0$  и  $\epsilon = \epsilon_0$ , составляла одну относительную единицу.

Для проверки адекватности разработанной модели реальным, физиологическим механизмам синаптической передачи был проведен ряд машинных экспериментов на ЭВМ «Наири-2», в которых на основании рассмотренных уравнений рассчитывались характеристики синаптической передачи при действии двойных и ритмических пресинаптических импульсов в широких днапазонах изменения их параметров

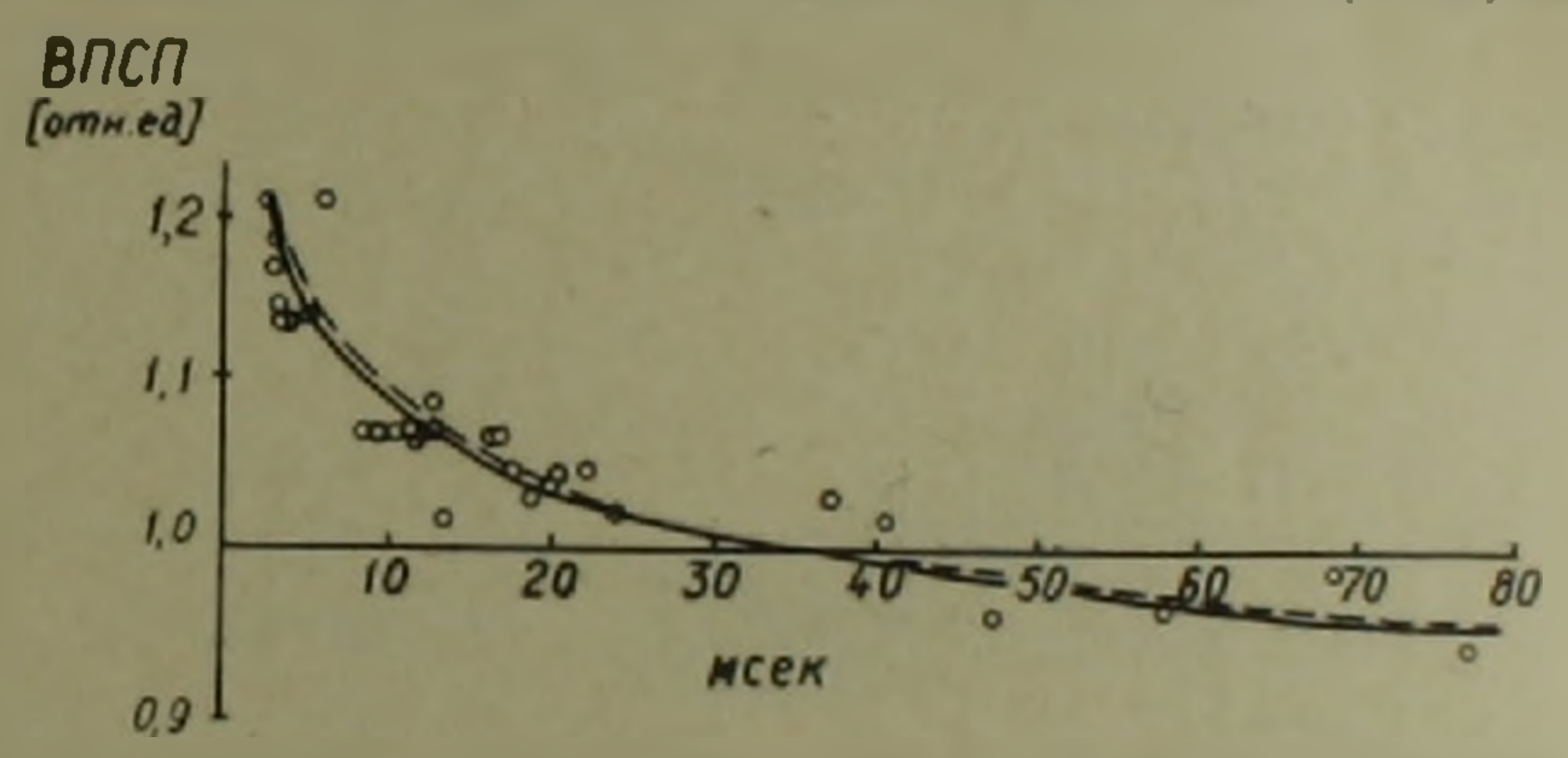


Рис. 1. Относительная велична ВПСП в ответ на второй пресинаптический импульс. Кружки и сплошная кривая—эксперичентальные данные работы (2). Пунктирная кривая—расчетные данные согласно предлагаемой модели при следующих параметрах:

$$W_0 = 1$$
;  $s_0 = 0.3$ ;  $k_1 = 0.12$ ;  $k_0 = 0.145$ ;  $T_1 = 22$  (MCEK),  $T_D = 500$  (MCEK)

На рис. 1 показаны данные машинных экспериментов по исследованию активации синапса двойными импульсами, в которых путем варьирования параметров модели решалась задача воспроизведения характеристик изменения ВПСП в соответствии с экспериментальными данными работы (3). Показаны кривые зависимости относительной величины ВПСП, вызванного вторым пресинаптическим импульсом, от величины межимпульсного интервала. При полученных параметрах модели, экспериментальные и георетические кривые совпадают в пределах точности эксперимента.

В других сериях машинных экспериментов имитировались условия ритмической пресинаптической стимуляции.

На рис. 2 приведены данные машинных экспериментов, излюстрирующие характер наложения ВПСП при разных частотах пресинал тической стимуляции.

Исследовалось изменение величины ВПСП и ТПСП во премя устойчивого состояния для широких диапазонов частот. На рис. З представлены данные машинных экспериментов, в которых выбор пара-

метров модели осуществлялся таким образом, чтобы обеспечить совпадение характеристик зависимости величин установившихся значений ВПСП и ТПСП от частоты стимуляции с аналогичными характеристиками, полученными экспериментальным путем согласно данным работы (2). Как видно из рисунков, теоретические кривые совпадают с экспериментальными в пределах точности эксперимента. Таким образом, полученные значения параметров модели могут рассматриваться как реальные параметры рассмотренных возбуждающего и тормозного спнапсов.

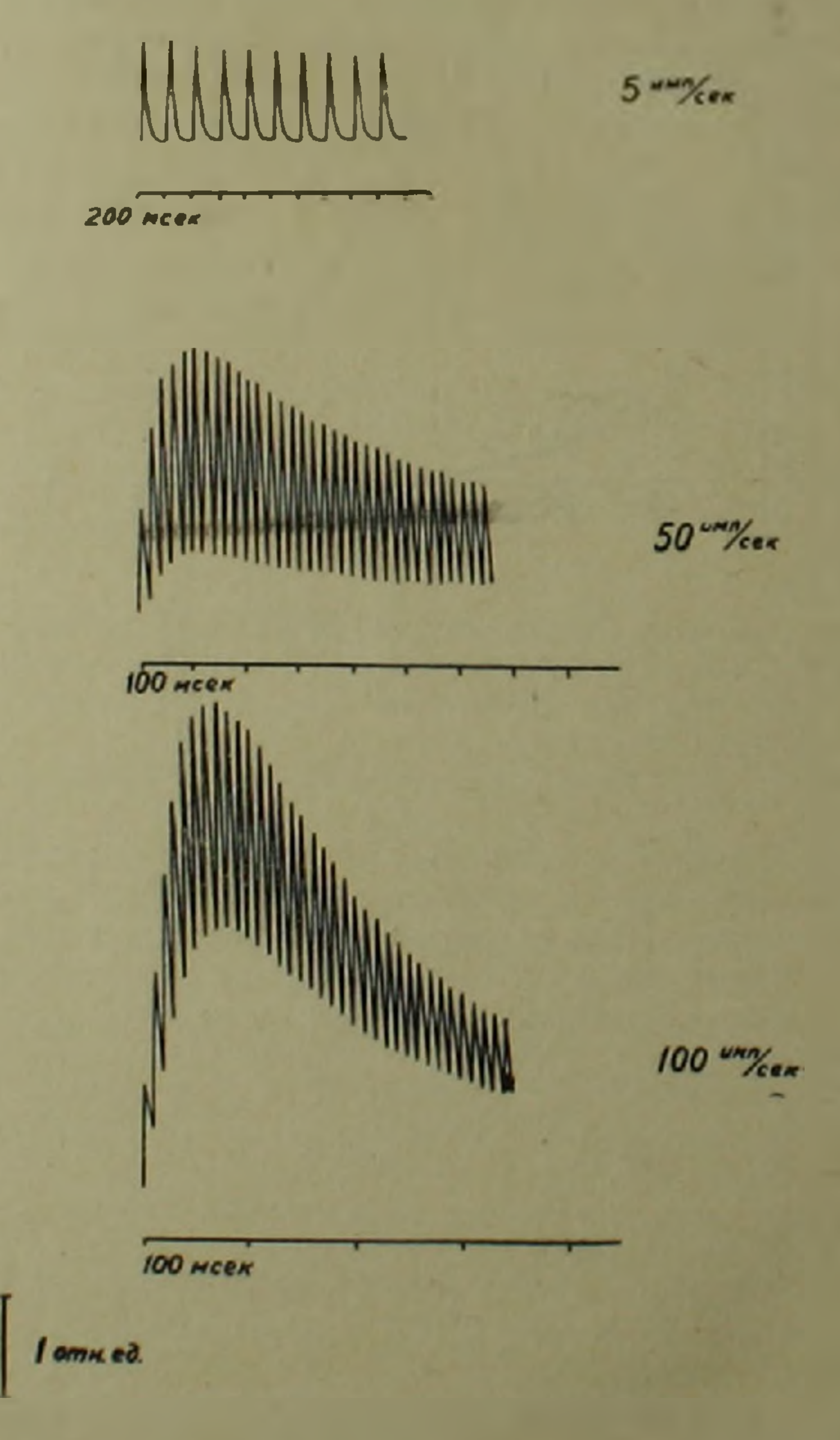
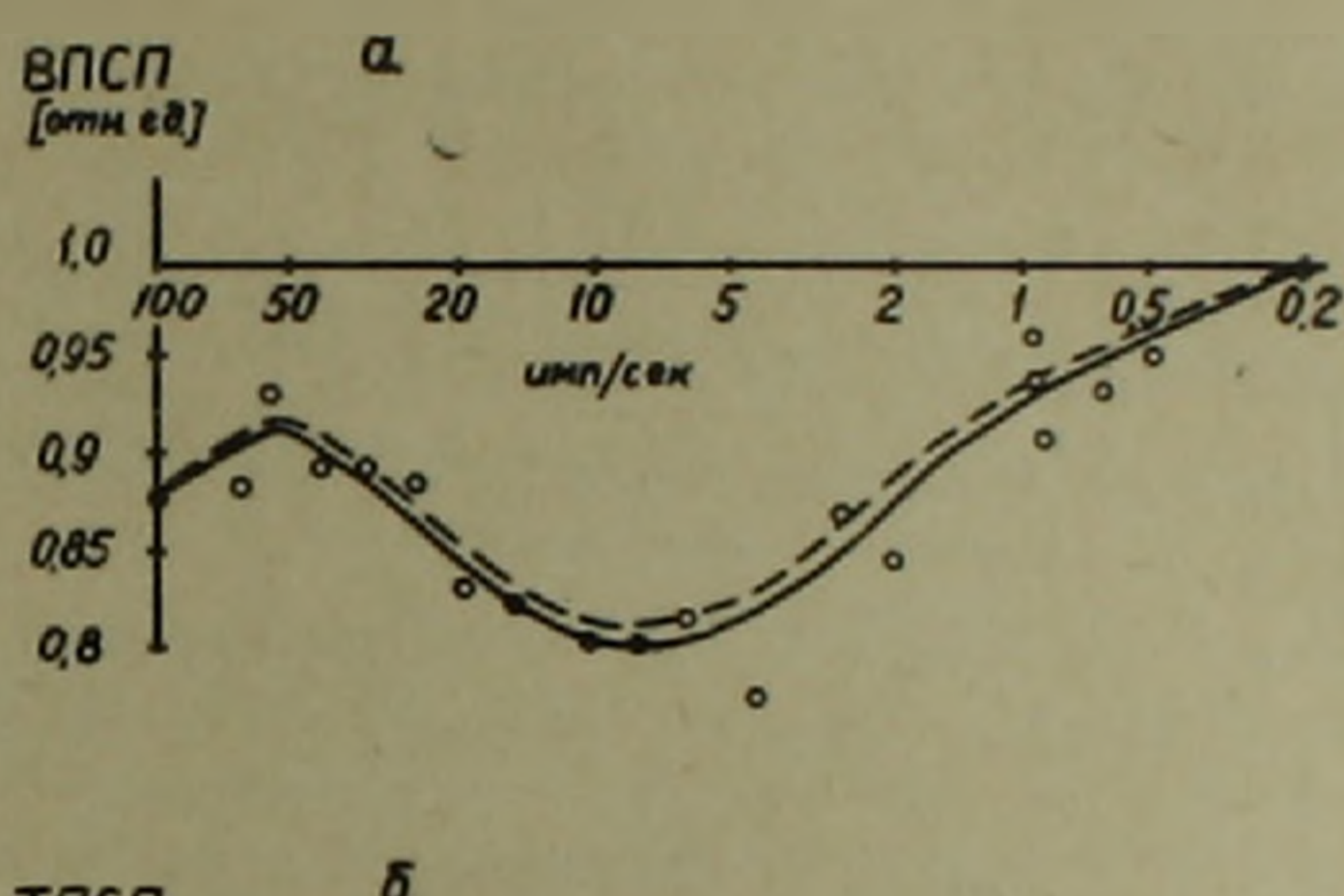


Рис 2 Кривые изменения ВПСП под действием ритмической моносинаптической стимуляции (данные машинных экспериментов). Справа указаны эначения частот стимуляции

Результаты работы показывают, что основные закономерности изменения эффективности синаптической передачи в условиях ритмической пресинаптической стимуляции могут быть удовлетворительно описаны теоретически, в рамках существующих представлений о механизмах расхода, мобилизации и восполнения меднатора, на основе-



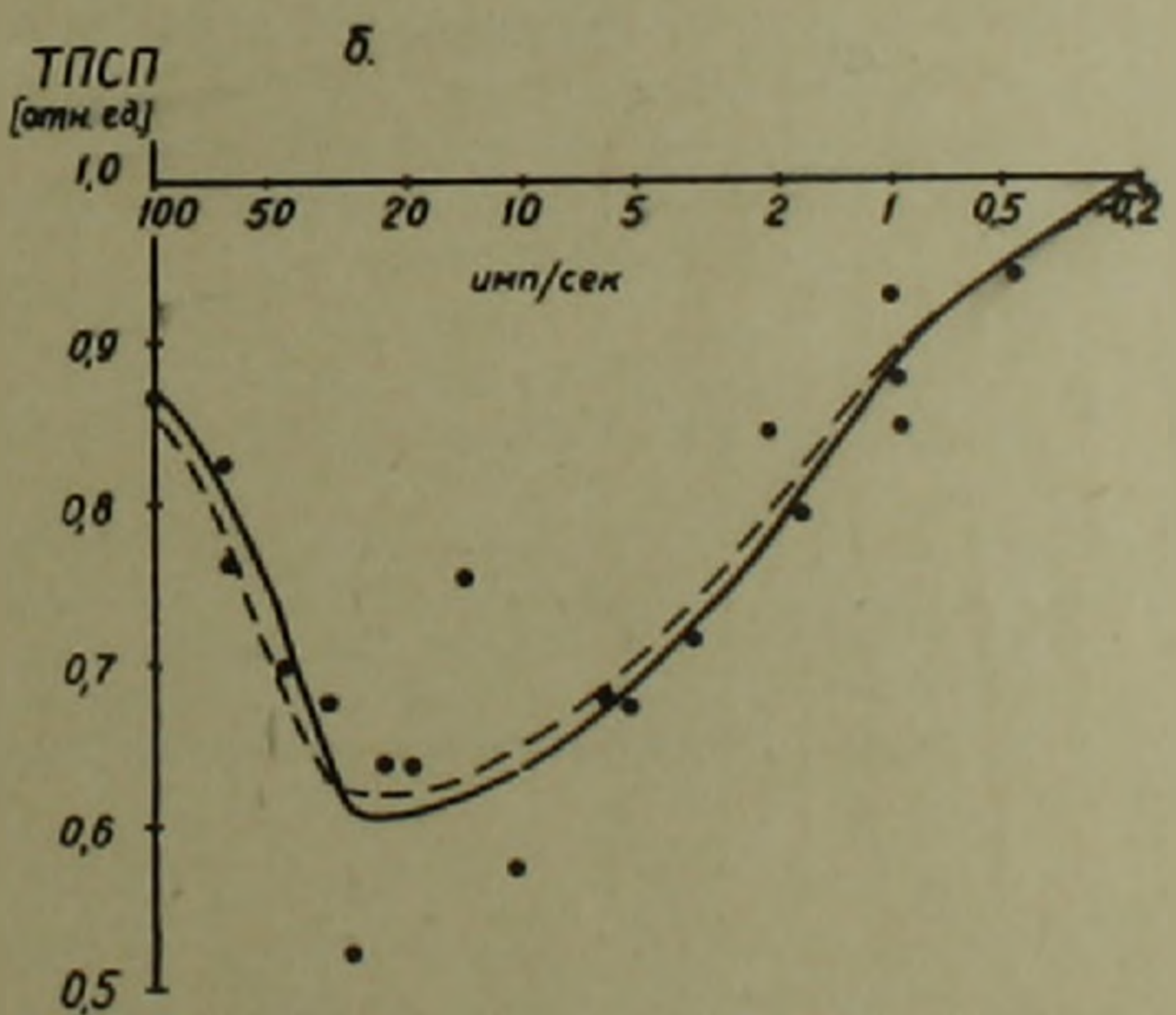


Рис. 3 Зависимость установившихся значений моносинаптических ПСП (a—BПСП; б—ТПСП) от частоты пресинаптического раздражения Кружки, точки и сплошные линии—экспериментальные данные работы (²) Пунктирные кривые—расчетные данные согласно предлагаемой модели при следующих параметрах:

а) для ВПСП $=W_0-1$ ;  $\epsilon_0=0.1$ ;  $k_1=0.1$ ;  $k_2=0.1$ ;  $T_0=50$  (меек);  $T_0=5000$  (меек) б) для ТПСП $=W_0-1$ ;  $\epsilon_0=0.1$ ;  $k_1=0.3$ ;  $k_2=0.15$ ;  $T_1=10$  (меек);  $T_0=15000$  (меек) разработанной математической модели. Подбор нараметров модели, обеспечивающий совнадение теоретических кривых зависимости значений ПСП от частоты с экспериментальными, позволяет определить ряд нараметров синаптической передачи, относящихся к процессам расхода, мобилизации и восполнения медиатора, которые не могут быть непосредственно получены экспериментальным путем.

Институт физиологии Академии паук Армянской ССР

Դ. Ա. ՄԵԼՔՈՆՅԱՆ, Հ. Ա. ՄԿՐՏՉՑԱՆ, Ն. Ա. ԽՈՆԴԿԱՐՑԱՆ

## Սինապսի վառքի մարեմատիկական նկառագիրը ռիթմիկ զողոման պայմաններում

Առաջարկված է սինապտիկ հաղորդման մախնմատիկական մոդնլ, որը հայապտիկ գորում մեդիատորի մորիլիզացման աստիձանը և նրա ծախսր պրնսինապտիկ ակտիվության գործուննության տակ։ Կատարված են մեքննասինապտիկ որդոման հաձախականությունից, այնպես էլ երկրորդական իմսինապտիկ դրդոման հաձախականությունից, այնպես էլ երկրորդական իմսինապտիկ դրդոման համանակից կրկնակի պայթյունի դեպքում։

Մերենայացված փորձերի տվյալները ցույց են տալիս, որ էքսպերիմենտալ և .աշվված հորերը համարյա .ամընդնում են։

## ЛИТЕРАТУРА — ЭРИЧИЪПЕРАЛЬЪ

<sup>1</sup> A. W. Liley, A. K. North, J. Neurophysiology, 26, 5, 509-527 (1953). <sup>2</sup> D. R. Curtis, J. C. Eccles, J. Physiology, 150, 2, 374—398 (1960). <sup>2</sup> Дж. Эккас, Физиология синапсов, "Мяр". М., 1965. <sup>4</sup> C. F. Stevens. Proceedings of the IEEE, 56, 6, 916—930, 1968. <sup>5</sup> J. Heruult, In "Comptes Rendues Academic des Siences", 270, 159—162 (1970). <sup>6</sup> H. B. Позик. Моделирование нейройных структур, "Наука" М., 1970.

